

KROMASIL 300 Å LARGES PORES

- pour toutes vos bioséparations -

La nouvelle silice large pore Kromasil 300 Å a été conçue spécialement pour être le choix idéal lors des séparations de protéines ou de biomolécules (>8-10 kD). La silice 300 Å accompagnée d'une faible distribution granulométrique vous garantit un bon transfert de masse pour ce type de molécules, aboutissant à des pics fins sans effet d'exclusion stérique.

Stabilité mécanique

Le Kromasil 300 Å est parfaitement sphérique, avec une porosité et une surface spécifique régulière, lui conférant une haute capacité de chargement et une grande stabilité mécanique. Cette stabilité mécanique est spécialement importante lors du remplissage des colonnes à compression axiale.

Stabilité chimique

La stabilité chimique est, avec la stabilité mécanique, le facteur le plus important pour la durée de vie d'une colonne.

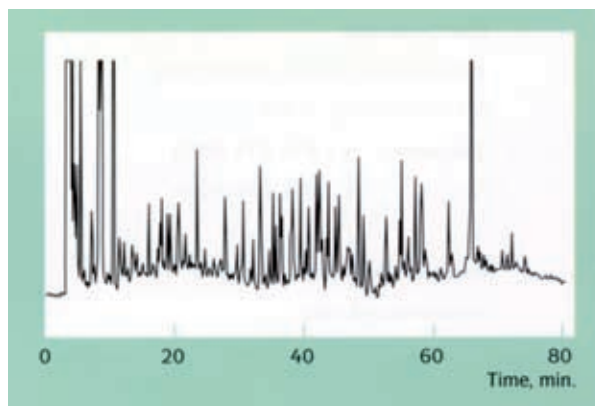
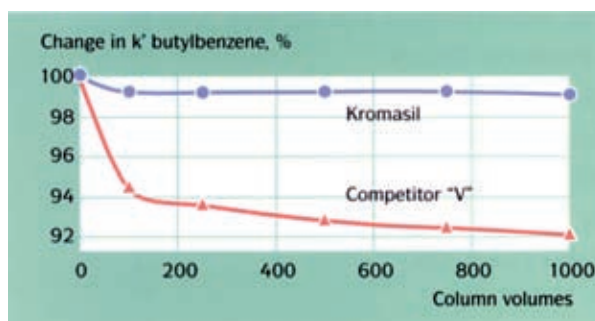
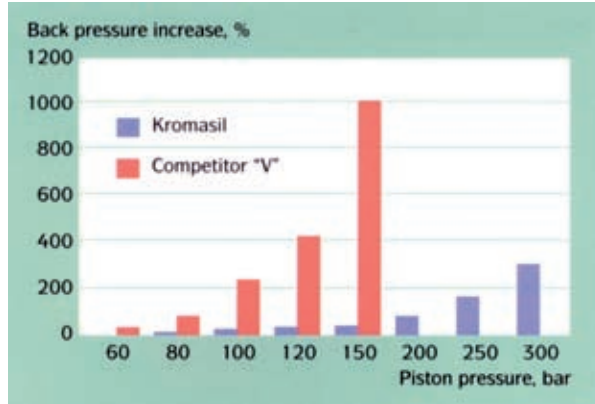
A pH faible, le greffage peut être hydrolysé ce qui a pour conséquence de diminuer la surface hydrophobe et donc réduire la rétention des composés lipophiles.

A pH élevé, la silice elle-même peut-être dissoute et ainsi conduire à la perte de la phase et du greffage et donc changer la rétention et l'efficacité de pics.

Propriétés chromatographiques

Le Kromasil 300 est prévu et fabriqué pour faire preuve de la même qualité que le Kromasil 100 Å. Cela assure une excellente efficacité pour tous les composés acides, neutres ou basiques.

Un test usuel pour le remplissage phase inverse visant les colonnes pour des bioséparations consiste à séparer des résidus de digestion de BSA (Bovine Sérum Albumin). Les résidus contiennent des fragments de taille variable, et la séparation de ces produits en pics bien séparés et bien résolus est une réelle preuve du pouvoir de résolution de la colonne.



| Material | Leakage of Si at: | |
|----------------|-------------------|-------------------|
| | neutral pH | high pH |
| Competitor "V" | 42 ppm | total dissolution |
| Kromasil | 2 ppm | 50 ppm |

Conditions : column : 4.6 mm x 250 mm, Kromasil KR 300-5-C4
Mobile phase : A : ACN/H₂O/TFA = 4/96/0.085 B : ACN/H₂O/TFA = 90/10/0.1
Gradient : 4% ACN for 5 min. 4% -40% ACN in 75 min.
Flow rate : 1.0 ml/min. Detection : UV at 215 nm Temperature : 22°C

Colonnes larges pores 300 Å

PROPRIÉTÉS DU KROMASIL CHIRAL

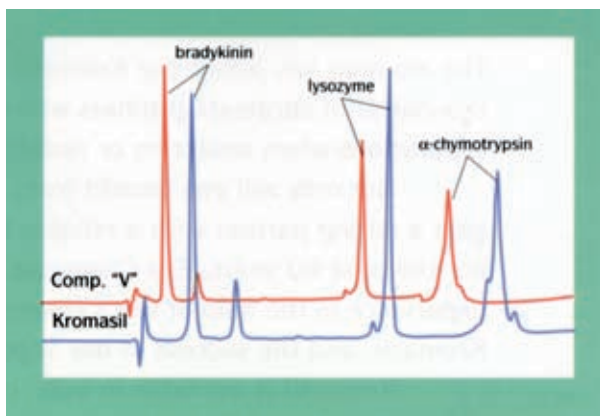
| Phase | Taille des particules (μm) | Taille des pores (\AA) | Surface spécifique (m^2/g) | Taux de C (%) | Groupe fonctionnel | Endcapping |
|--------|---|-----------------------------------|--|---------------|--------------------|------------|
| Silice | 5 et 10 | 300 | 240 | - | Silice | Non |
| C4 | 5 et 10 | 300 | 240 | 3,6 | Butyl | Oui |
| C8 | 5 et 10 | 300 | 240 | 6 | Octyl | Oui |
| C18 | 5 et 10 | 300 | 240 | 9,6 | Octadecyl | Oui |

| Kromasil | Dimensions de la colonne (mm) | | | |
|-----------------|-------------------------------|--------------|--------------|--------------|
| | 150 x 2,1 | 250 x 2,1 | 150 x 4,6 | 250 x 4,6 |
| 5 μm | 150 x 2,1 | 250 x 2,1 | 150 x 4,6 | 250 x 4,6 |
| Silice | K-150-5Si-B | K-250-5Si-B | K-150-5Si-D | K-250-5Si-D |
| C1 | K-150-5C1-B | K-250-5C1-B | K-150-5C1-D | K-250-5C1-D |
| C4 | K-150-5C4-B | K-250-5C4-B | K-150-5C4-D | K-250-5C4-D |
| C8 | K-150-5C8-B | K-250-5C8-B | K-150-5C8-D | K-250-5C8-D |
| C18 | K-150-5C18-B | K-250-5C18-B | K-150-5C18-D | K-250-5C18-D |

| 10 μm | 250 x 4,6 | 250 x 10 | 250 x 20 | 250 x 50 |
|------------------|---------------|---------------|---------------|---------------|
| Silice | K-150-10Si-B | K-250-10Si-B | K-150-10Si-D | K-250-10Si-D |
| C1 | K-150-10C1-B | K-250-10C1-B | K-150-10C1-D | K-250-10C1-D |
| C4 | K-150-10C4-B | K-250-10C4-B | K-150-10C4-D | K-250-10C4-D |
| C8 | K-150-10C8-B | K-250-10C8-B | K-150-10C8-D | K-250-10C8-D |
| C18 | K-150-10C18-B | K-250-10C18-B | K-150-10C18-D | K-250-10C18-D |

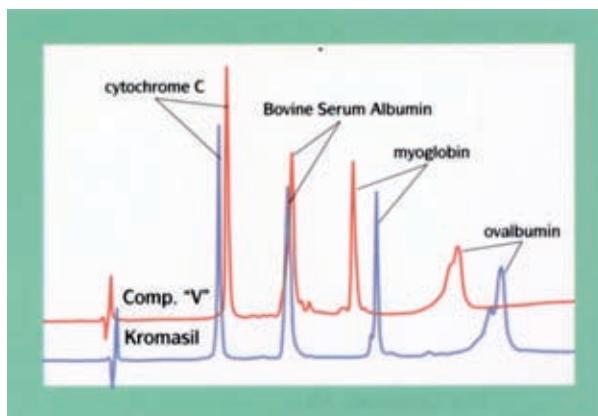
COMPARAISON KROMASIL 300 Å VS. VYDAC 300 Å :

Séparation de peptides et de protéines



Conditions : Column : 4.6 mm x 250 mm Mobile phase : A : ACN/H2O/TFA = 5/95/0.1 B : ACN/H2O/TFA = 90/10/0.1 Gradient : 325% -75% ACN in 25 min. Flow rate : 1.0 ml/min. Temperature : 20°C Detection : UV at 220 nm

Séparation de protéines



Conditions : Column : 4.6 mm x 250 mm Mobile phase : A : ACN/H2O/TFA = 5/95/0.1 B : ACN/H2O/TFA = 90/10/0.1 Gradient : 30% -70% ACN in 30 min. Flow rate : 1.0 ml/min. Temperature : 20°C Detection : UV at 220 nm

APPLICATIONS KROMASIL

– Disponibles sur demande –

| | | | |
|---|--|---------------------------------------|--|
| 1-[Ethyl-(3-methanesulfonylpropyl)-amino]-3-phenoxypropan-2-ol | Antipyrine | Chloroxazone | Dimethyluric acid, 1,3-Dimethyluric acid, 1,7-Dinitrophenol, 2,3-Dinitrophenol, 2,4-Dinitrophenol, 2,5-Dinitrophenol, 2,6-Dinitrophenol, 3,4-Diphentoin-Diquat-Diuron-DNB-DNT-DNT, 2A-Dopamine-Doxepine-EET, 11,12-EET, 14,15-EET, 5,6-EET, 8,9-Elaidic acid (phenacyl ester derivative)-Enoxacin-Epinephrine-Ethyl viologen-Ethylcinnamate-Fluconazole-Fluoranthene-Fluorene-Fluorenly methylchloroformate 9-Fluoro-2'-deoxyuridine, 5-Fluorobenzene-Fluorouridine, 5-Fluoxetine-Fluvoxamine-Fmoc-NH2-Fmoc-OH-Formic acid-Formononetin-Foscarnet-Fotemustine-Fructose-Furazolidone-Furfural-GABA, OPA-alanine, OPA-Galactose-Gastrodin-Gaultereside D1-Gaultereside D2-Gaultereside D3-Genistein-Ginkgolide A-Ginkgolide B-Ginkgolide C-Glucose-Glucosepentabenoate-Glutamate-Glutamate, N-acetyl-Glutamic acid-Glutamic acid, Fmoc-Glutamic acid, OPA- |
| 1-[Ethyl-[2-hydroxy-3-(propane-1-sulfonyl)-propyl]-amino]-3-phenoxy-propan-2-ol | Apigenin | Chrysene | |
| 1-[Ethyl-[3-(2-hydroxy-propane-1-sulfonyl)-propyl]-amino]-3-phenoxy-propan-2-ol | Arachidonic acid (phenacyl ester derivative) | Chyrsin | |
| 1-[Ethyl-[3-(2-hydroxy-propane-1-sulfonyl)-propyl]-amino]-3-phenoxy-propan-2-ol | Arginine, Fmoc | Ciprofloxacin | |
| 3-{[3-[Ethyl-(2-hydroxy-3-phenoxy-propyl)-amino]-propane-1-sulfinyl]-propan-1-ol} | Arginine, OPA | Citalopram | |
| 3-{[3-[Ethyl-(2-hydroxy-3-phenoxy-propyl)-amino]-propane-1-sulfonyl]-propan-1-ol} | Arginine, PTC | Ccitalopram N-oxide | |
| Ascorbic acid | Aspartate | Citrulline, OPA- | |
| Asparagine, OPA | Clenbuterol | Clendamycin | |
| Aspartate | Clodronate | Clomipramine | |
| Aspartate, N-acetyl- | Clomipramine, 8-OH- | Clomipramine, 8-OH-desmethyl- | |
| Aspartic acid, Fmoc | Clomipramine, 8-OH-desmethyl- | Clomipramine, desmethyl- | |
| Aspartic acid, OPA- | Clorodonate monophenylester | Clorodonate monophenylester | |
| Aspartic acid, PTC- | Atrazine | Clotrimazole | |
| ATP | Benz(a)anthracene | Clozapine | |
| Benzene | Codeine | Codine | |
| Benzo(a)pyrene | Cotinine | Cyanazine | |
| Benzo(b)fluoranthene | Cyanidin | Cyanidin | |
| Benzo(g,h,i)perylene | Cyanidin-3-O-b-glycoside | Cyclohexylalanine | |
| Benzo(k)fluoranthene | Cysteine, Fmoc- | Cysteine-conjugate (RPR 100391) | |
| Benzoic acid | Cysteine, PTC- | Cysteine, neospiramycin I | |
| Acetoacetanilide | Benzothiazoleacetic acid, | Cysteine, neospiramycin III | |
| Acetophenone | 4-chloro-2-oxo-3(2H)- | Cysteyl neospiramycin I | |
| Acetopromazine | Benzothiazoleacetic ethyl ester, | Cysteyl neospiramycin III | |
| Acetylaminophenylacetic acid | 4-chloro-2-oxo-3(2H)- | Cysteyl spiramycin I | |
| Acetyl-L-carnitine 1-aminoanthraceneamide | Benzylmandelate | Cysteyl spiramycin III | |
| ACT | Bestatin | Demethyltramadol, o- | |
| Acarat | Betamethasone acetate | Desethylatrazine | |
| Adenosine | Bilobalide | Desisopropylatrazine | |
| ADP | Biochanin-A | Desmethylcitalopram | |
| Alanine | Biphenyl | Dexamethasone | |
| Alanine, Fmoc | Boronophenylalanine, OPA-p- | DHET, 11,12- | |
| Alanine, PTC | Bradykinin | DHET, 12,15- | |
| Ambroxol | Brombenzene | DHET, 14,15- | |
| Ametryn | Bromhexine | DHET, 5,6- | |
| Aminobenzoic acid, m- | Butanamine (EBDB), N-ethyl- | DHET, 8,9- | |
| Aminobenzoic acid, o- | 1-(1,3-benzodioxol-5-yl)-2- | DIA | |
| Aminobenzoic acid, p- | Butanamine (MBDB), N-methyl- | DIA (desisopropylatrazine) | |
| Aminobuturic acid, OPA-g- | 1-(1,3-benzodioxol-5-yl)-2- | Dibenz(a,h)anthracene | |
| Aminocephalosporanic acid | Butylbenzene | Dichlorobenzene, m- | |
| Aminosalicylic acid | Cadaverine | Dichlorobenzene, p- | |
| Aminosalicylic acid | Caffeine | Dichlorobenzothiazole, 2,4- | |
| Amitriptyline | Caproic acid | Didesmethylcitalopram | |
| Amitriptyline | Carbamazepine | Diethylaniline, N,N- | |
| Amoxapine | Carbendazim | Difenoquat | |
| Amoxicillin degradation derivative | Carnitine 1- | Dihydroxybenzylamine | |
| AMP | aminoanthraceneamide,L- | hydrobromide, 3-4- | |
| Amperozide (I) | Ceftriaxone | Dimethylamino-3-propyl thiomethyl- | |
| Amperozide's N-de-ethyl metabolite (II) | Cephalosporanic acid, 7-amino-3-[(2,5-dihydro-6-hydroxy-2-methyl-5-oxo-1,2,4-trizin-3-yl)-thio]methyl] | Iene- | |
| Amperozide's N-de-ethyl-N-butyl Analogue (III) | Chlorhexidine | 5-virginiamycin S (internal standard) | |
| Ampicillin degradation derivative | Chlorobenzene | | |
| Angiotensin I | Chlorobenzothiazole, 2-amino-4- | | |
| Angiotensin II | Chlorpheniramine maleate | | |
| Anthracene | Chlorpromazine | | |
| Anthranilic acid | Chlortetracycline | | |

Colonnes larges pores 300 Å

| | | | |
|------------------------------------|---|---|--|
| Glutamic acid, PTC- | Isoleucine, PTC- | Methansulfonyl-L-carnitine | +R |
| Glutamine, OPA- | Ketoprofen | 1-aminoanthraceneamide | Nicotinamide |
| Glutathione-conjugate (RP 69012) | Lactic acid | Methionine | Nicotine |
| Glycine | Lactose | Methionine enkephalin (ME) | Nitrobenzene |
| Glycine, Fmoc- | Lactose, a- | Methionine enkephalinamide (MEA) | Nitrobenzoic acid, o- |
| Glycine, OPA- | Lactulose | Methionine, Fmoc- | Nitrobenzoic acid, m- |
| Glycine, PTC- | Lauric acid, fluorescent ester | Methionine, PTC- | Nitrobenzoic acid, p- |
| Guaiacol | Leucin enkephalin | Methomyl | Nitrophenol, 2- |
| H290-51 | Leucine | Methoxybenzylamine hydrochloride, | Nitrophenol, 3- |
| H290-39 | Leucine, Fmoc- | 4-hydroxy-3- | Nitrophenol, 4- |
| Haloperidol | Leucine, OPA- | Methyl tricarbonyl cyclopentadienyl | Nitrophenyl-b-D-glucuronide, 4- |
| Heptylpyridine | Leucine, PTC- | tungsten | Nitrophenylacetic acid, 4- |
| Hesperetin | Leukotriene LTC4 | Methylamine | Nitrophenylacetonitrile, 4- |
| HETE, 20- | Leukotriene LTD4 | Methylbenzene | Nitrotoluene, m- |
| Hexabenzoyl mannitol | Leukotriene LTE4 | Methylbenzoate | Nitrotoluene, o- |
| Hexachlorobenzene | Leukotriene LTE4-sulfone | Methyl-D-glucose,3-O- | Nitrotoluene, p- |
| Hexylpyridine | Leukotriene LTE4-sulfoxide | Methyldopamine,3-O- | Norepinephrine |
| Histamine | Leukotriene N-acetyl LTE4 | Methyl-p-hydroxybenzoate | Norfluoxetine |
| Histidine, Fmoc- | Linoleic acid (phenacyl ester derivative) | Methyluric acid, 1- | Norleucine, PTC- |
| Histidine, N-acetyl- | Linuron | Methyluric acid, 7- | Normetanephrine |
| Histidine, OPA- | Lomefloxacin | Methylxanthine, 1- | Nortriptyline |
| Histidine, PTC- | Loxapine | Methylxanthine, 3- | Nortriptyline, E-10-OH- |
| HMX | Luteolin | Methylxanthine, 7- | Nortriptyline, Z-10-OH- |
| Hydroxybenzyl alcohol, p- | Lysine | Metolachlor | Octyl alcohol, n- |
| Hydroxyl-4-Chlorobenzothiazole, 2- | Lysine, Fmoc- | Metoxuron | Octyl caproate, n- |
| Hydroxylbenzaldehyde, p- | Lysine, PTC- | Metribuzin | Ofloxacin |
| Hypoxanthine | Lysine, OPA- | Metronidazole | Oleic acid (phenacyl ester derivative) |
| Ibuprofen | Lysozyme | Mianserin | Ornithine, OPA- |
| Imipramine | Maltose | Minocycline | Oxamyl |
| IMP | Malvidin-3-O-b-glycoside | MNX | Oxytetracycline |
| Indeno(1,2,3-c,d)pyrene | Mannitol | Myristic acid (phenacyl ester derivative) | Oxytocin |
| Inosine | Mannose | N-acetylaspartate (NAA) | Palmitic acid (phenacyl ester derivative) |
| Insulin | Maprotiline | N-acetylglutamate (NAG) | Palmitoleic acid (phenacyl ester derivative) |
| Insulin sensitizing agent DRF-2189 | Megazol | Nalidixic acid | Paracetamol |
| Iodouracil, 5- | Melittin | Naphtalene | |
| Irganox 1076 | Meloxicam | Naringenin | |
| isobutyryl-L-carnitine | Metanephrine | Naringin | |
| 1-aminoanthraceneamide | Methacycline | NBA, 4- | |
| Isoleucine | | Neburon | |
| Isoleucine, Fmoc- | | NH | |
| Isoleucine, OPA- | | | |